

Ex2-C: Solução de Stommel para fundo plano e plano β

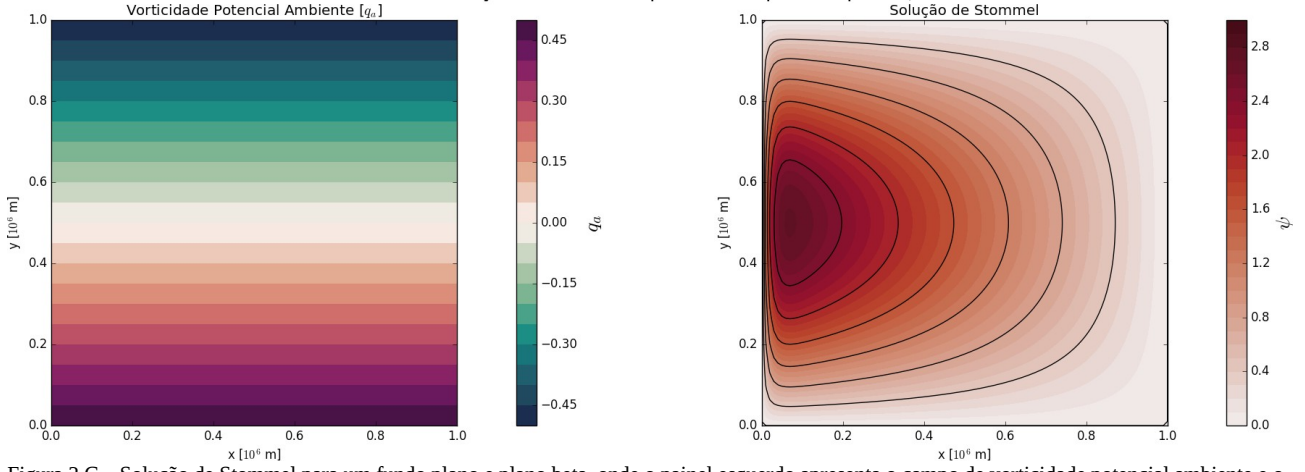


Figura 2.C – Solução de Stommel para um fundo plano e plano beta, onde o painel esquerdo apresenta o campo de vorticidade potencial ambiente e o painel direito o campo de função de corrente geostrófica obtido no primeiro experimento.

Ex2-D: Solução de Stommel para fundo plano e plano f

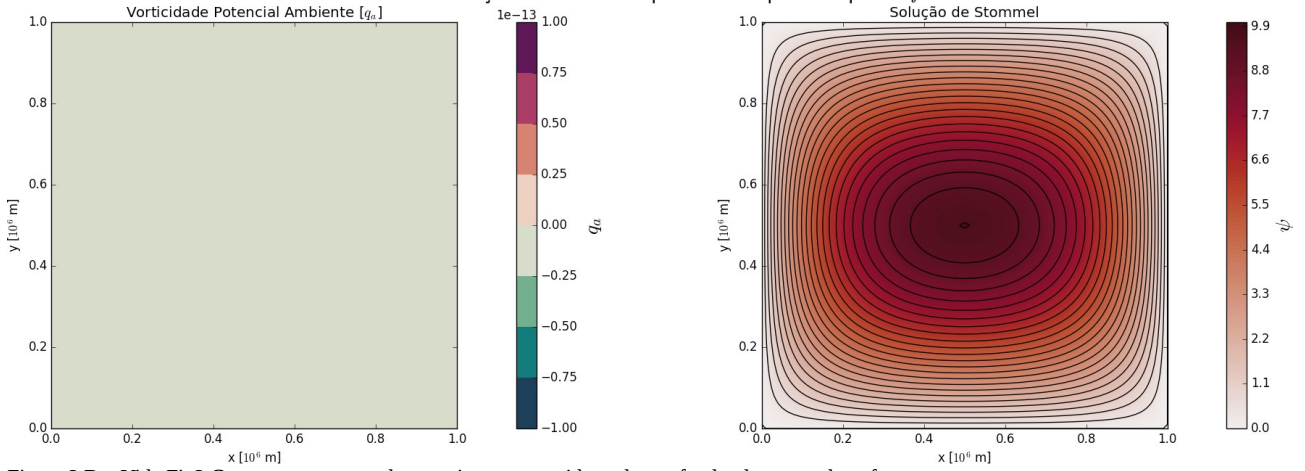


Figura 2.D – Vide Fig2.C, mas para o segundo experimento, considerando um fundo plano e o plano f .

Ex2-E: Solução de Stommel para fundo com variação linear meridional e $\beta_T = \beta$

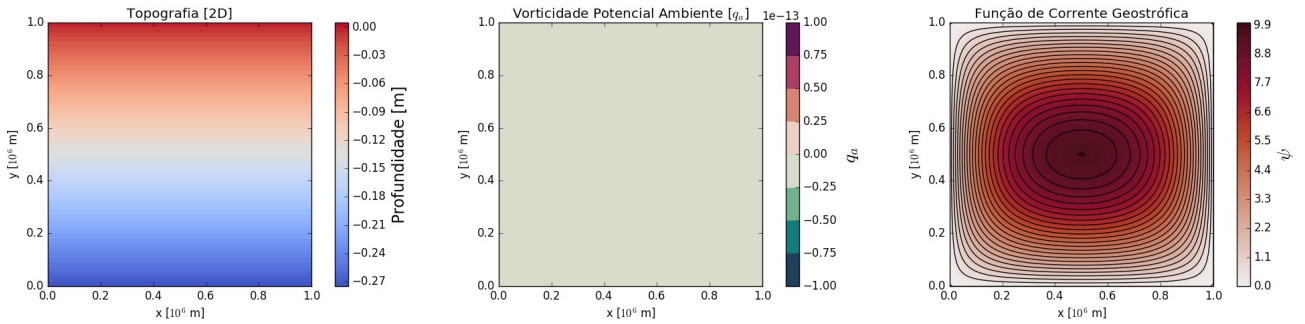


Figura 2.E – Solução de Stommel para um fundo com variação linear meridional e plano f , onde o painel esquerdo apresenta a topografia gerada, o painel do meio apresenta o campo de vorticidade potencial ambiente e o painel direito o campo de função de corrente geostrófica obtido no primeiro experimento.

Ex2-F: Solução de Stommel para fundo com variação linear zonal e $\beta = \alpha x = \frac{\beta}{4}x$

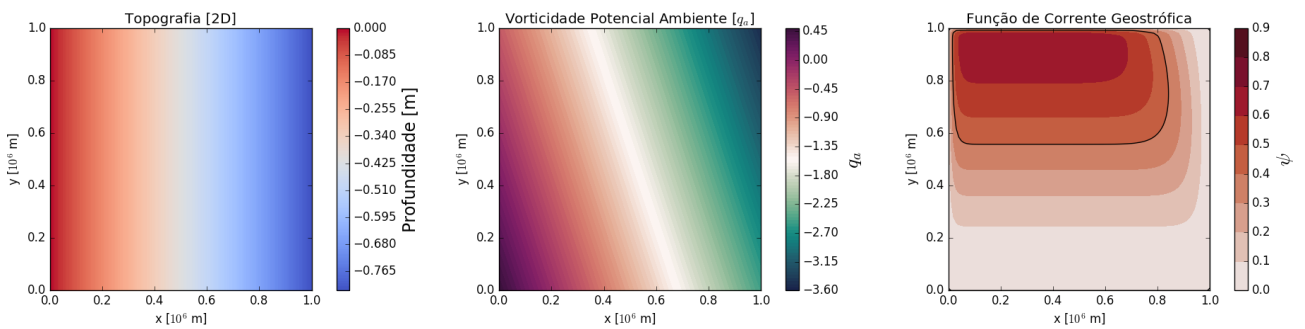


Figura 2.F – Vide Fig2.E, mas considerando um fundo com variação linear zonal e plano beta.